

```
> restart;
```

РЕШЕНИЕ ЗАДАЧ ПО КВАНТОВОЙ МЕХАНИКЕ  
(В.М. ГАЛИЦКИЙ, Б.М. КОРНАКОВ, В.И. КОГАН.  
ЗАДАЧИ ПО КВАНТОВОЙ МЕХАНИКЕ  
Журавлев В.М.  
Ульяновский государственный университет, 2020

## ДВУМЕРНОЕ И ТРЕХМЕРНОЕ УРАВНЕНИЕ ШРЕДИНГЕРА

```
> with(plots):  
with(plottools):  
[annulus, arc, arrow, circle, cone, cuboid, curve, cutin, cutout, cylinder, disk, dodecahedron, ellipse, ellipticArc, exportplot, extrude, getdata, hemisphere,  
hexahedron, homothety, hyperbola, icosahedron, importplot, line, octahedron, parallelepiped, pieslice, point, polygon, prism, project, rectangle, reflect,  
rotate, scale, sector, semitorus, sphere, stellate, tetrahedron, torus, transform, translate]
```

### Формат графиков

```
> frm:=axes=boxed,gridlines=true,labeldirections=[horizontal,vertical],labelfont=[TIMES,BOLD,16],titlefont=[TIMES,BOLD,20],font=[TIMES,BOLD,20],symbol=solidcircle,symbolsize=20,legendstyle=[font=["TIMES",BOLD,18],location=bottom],size=[900,600];  
frm3d:=axes=boxed,labeldirections=[horizontal,vertical],labelfont=[TIMES,BOLD,16],titlefont=[TIMES,BOLD,20],font=[TIMES,BOLD,20],symbol=solidcircle,symbolsize=18;  
frm:=axes=boxed,gridlines=true,labeldirections=[horizontal,vertical],labelfont=[TIMES,BOLD,16],titlefont=[TIMES,BOLD,20],font=[TIMES,
```

1. В трехмерном случае оператор Гамильтона (оператор полной энергии)  $\hat{H}$  имеет в общем случае вид:

$$\hat{H} = \frac{1}{2m} \hat{p}^2 + U(x, y, z) = -\frac{\hbar^2}{2m} \left( \frac{\partial^2}{\partial x^2} + \frac{\partial^2}{\partial y^2} + \frac{\partial^2}{\partial z^2} \right) + U(x, y, z)$$

Здесь  $U(x, y, z)$  - потенциальная энергия системы.

Примеры:

$$U \tag{3}$$

### Заготовки функций

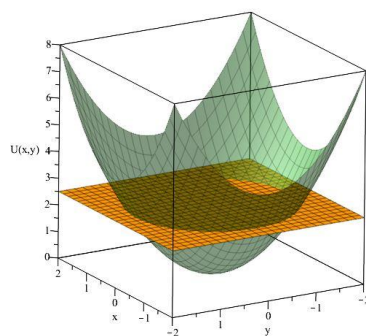
```
> U1:=(x,y)->x^2+y^2;  
U2:=(x,y)->-1/sqrt(x^2+y^2);  
U4:=(x,y,a,b,U0,U1)->piecewise(0<x and x<a and 0<y and y<b,U0,U1);  
#P1:=parallelepiped([1,0,0],[0,5,0],[0,0,1],[5,0,0]);
```

$$U1 := (x, y) \rightarrow x^2 + y^2$$
$$U2 := (x, y) \rightarrow -\frac{1}{\sqrt{x^2 + y^2}}$$

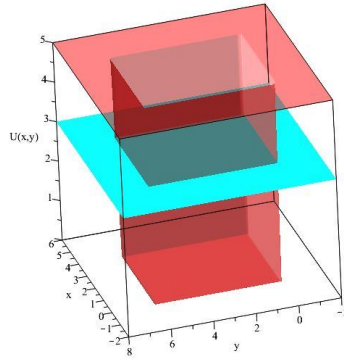
$$U4 := (x, y, a, b, U0, U1) \rightarrow \text{piecewise}(0 < x \text{ and } x < a \text{ and } 0 < y \text{ and } y < b, U0, U1) \tag{4}$$

```
> #display(P1,scaling=constrained);  
> picUHO2:=plot3d([U1(x,y),2.5],x=-2..2,y=-2..2,color=["DarkGreen",coral],title="Потенциальная энергия гармонического осциллятора x^2",labels=["x","y","U(x,y)"],transparency=[0.5,0.0]);  
plot3d([U4(x,y,4,6,0,5),3],x=-2..6,y=-2..8,color=[red,cyan],thickness=5,transparency=[0.5,0.0],title="Двумерная прямоугольная яма конечной глубины",labels=["x","y","U(x,y)"],style=surface,grid=[100,100]);#  
view=[-10..10,0..5]
```

Потенциальная энергия гармонического осциллятора  $x^2$



Двумерная прямоугольная яма конечной глубины



3. Стационарное уравнение Шредингера для одномерного движения :

$$\hat{H} \psi(x; E) = \left( \frac{1}{2m} \hat{p}^2 + U(x, y, z) \right) \psi(x; E) = \left( -\frac{\hbar^2}{2m} \left( \frac{\partial^2}{\partial x^2} + \frac{\partial^2}{\partial y^2} + \frac{\partial^2}{\partial z^2} \right) + U(x, y, z) \right) \psi(x; E) = E \psi(x; E)$$

#### 4. Граничные условия для волновых функций в яме

4.1. Для частицы, энергия которой лежит ниже верхнего значения потенциальной энергии, волновая функция  $\psi(x, y, z; E)$

$E$  в пределе  $r = \sqrt{x^2 + y^2 + z^2} \rightarrow \pm \infty$  стремится к нулю :

$$\lim_{r \rightarrow \pm \infty} \psi(x, y, z; E) = 0.$$

Смысл этого граничного условия состоит, как и в одномерном случае, в том, что при удалении от ямы вероятность найти частицу стремится к нулю.

Синим пунктиром на рисунке обозначено примерное поведение вероятности для одного из состояний с фиксированной энергией.

Задаем значение полной энергии

> E := -8;

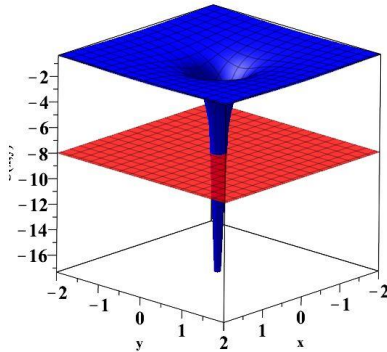
E := -8

(5)

Рисуем график потенциала и уровень энергии

> plot3d([E, U2(x, y)], x=-2..2, y=-2..2, color=[red, blue], transparency=[0.2, 0.0], title="Потенциал точечного заряда", labels=["x", "y", "U(x, y)"], frm3d, grid=[50, 50]);

Потенциал точечного заряда



#### 4.2. Бесконечный по высоте барьер

Если потенциальная энергия как функция координаты в точке  $x_0$  имеет бесконечный по энергии разрыв, то волновая функция  $\psi(x, y, z; E)$  в пределе  $(x, y, z) \rightarrow (x_0, y_0, z_0)$  стремится к нулю :

$$\lim_{x \rightarrow x_0} \psi(x, y, z; E) = 0.$$

Особой точкой в сферической системе координат является точка  $r = \sqrt{x^2 + y^2 + z^2} = 0$ . Поскольку значения  $r$  не могут быть отрицательными, то в этой точке должно выполняться особое условие ограниченности волновой функции:

$$\psi(r, \phi, \theta; E) \rightarrow C, |C| < \infty$$

>

#### 4.3. Конечный скачок энергии. Условия сшивки

Если потенциальная энергия как функция координаты в точке  $x_0$  имеет конечный по энергии разрыв, то :

а) волновая функция  $\psi(x, y, z; E)$  в пределах к этой точке непрерывна :

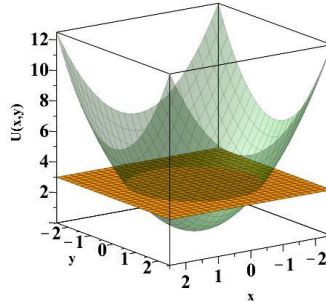
б) производная волновой функции  $\psi(x, E)$  в пределах к этой точке непрерывна :

### Задача 4.2 ГКК Двумерный гармонический осциллятор

4.5. Найти энергетические уровни и волновые функции стационарных состояний плоского гармонического осциллятора.

```
> picUHO2:=plot3d([U1(x,y),3],x=-2.5..2.5,y=-2.5..2.5,color=["DarkGreen",coral],title="Потенциальная энергия гармонического осциллятора",labels=["x","y","U(x,y)"],frm3d,transparency=[0.7,0]);
```

Потенциальная энергия гармонического осциллятора



Уравнение Шредингера для двумерного гармонического осциллятора в декартовой системе координат имеет такой вид:

$$-\frac{\hbar^2}{2m} \left( \frac{\partial^2}{\partial x^2} \psi(x,y;E) + \frac{\partial^2}{\partial y^2} \psi(x,y;E) \right) + \frac{m}{2} (\omega_1^2 x^2 + \omega_2^2 y^2) \psi(x,y;E) = E \psi(x,y;E).$$

Здесь  $\omega_1$  и  $\omega_2$  – собственные частоты осциллятора по отдельным координатам.

Уравнение Шредингера в таком виде допускает разделение переменных.

Ищем частное решение в виде произведения функций от  $x$  и от  $y$ :

$$\psi(x,y;E) = \Psi(x)\Phi(y)$$

Подставляя это соотношение в уравнение и разделяя переменные, приходим к двум уравнениям:

$$-\frac{\hbar^2}{2m} \frac{\partial^2}{\partial x^2} \Psi + \frac{m}{2} \omega_1^2 x^2 \Psi = E_1 \Psi,$$

$$-\frac{\hbar^2}{2m} \frac{\partial^2}{\partial y^2} \Phi + \frac{m}{2} \omega_2^2 y^2 \Phi = E_2 \Phi$$

При этом  $E = E_1 + E_2$ . Это есть условие разделения переменных.

Каждое из этих уравнений представляет собой уравнение Шредингера одномерного гармонического осциллятора, решение для которого мы уже нашли. Именно,

решения для  $\Psi$  и  $\Phi$  можно записать с помощью повышающих и понижающих операторов.

По каждой координате будут свои повышающий и понижающий осциллятор.

Для этого введем новые переменные:

$$\xi = \sqrt{\frac{m\omega_1}{\hbar}} x, \quad \eta = \sqrt{\frac{m\omega_2}{\hbar}} y$$

В новых переменных уравнение можно записать так:

$$-\frac{d^2 \Psi}{d\xi^2} + \xi^2 \Psi = \epsilon_1 \Psi, \quad \epsilon_1 = \frac{2E_1}{\hbar\omega_1},$$

$$-\frac{d^2 \Phi}{d\eta^2} + \eta^2 \Phi = \epsilon_2 \Phi, \quad \epsilon_2 = \frac{2E_2}{\hbar\omega_2}.$$

Числа  $\epsilon_1$  и  $\epsilon_2$  – безразмерные энергии осциллятора колебаний по отдельным осям.

Введем незрмитовы операторы  $\hat{a}$  и  $\hat{a}^+$  в соответствии с формулами:

$$\hat{a}_x = \frac{1}{\sqrt{2}} \left( \xi + \frac{d}{d\xi} \right), \quad \hat{a}_x^+ = \frac{1}{\sqrt{2}} \left( \xi - \frac{d}{d\xi} \right),$$

$$\hat{a}_y = \frac{1}{\sqrt{2}} \left( \eta + \frac{d}{d\eta} \right), \quad \hat{a}_y^+ = \frac{1}{\sqrt{2}} \left( \eta - \frac{d}{d\eta} \right)$$

В этом случае решения для  $\Psi$  и  $\Phi$  можно записать так:

$$\Psi_n(x) = \hat{a}_x^+ \hat{a}_x^+ \cdots \hat{a}_x^+ \Psi_0(x), \quad \Psi_0(x) = \frac{1}{\sqrt{\frac{\pi}{4}}} e^{-\frac{x^2}{2x_0^2}}, \quad x_0 = \sqrt{\frac{\hbar}{m\omega_1}},$$

$$\Phi_k(y) = \hat{a}_y^+ \hat{a}_y^+ \cdots \hat{a}_y^+ \Phi_0(y), \quad \Phi_0(y) = \frac{1}{\pi^{1/4}} e^{-\frac{y^2}{2y_0^2}}, \quad y_0 = \sqrt{\frac{\hbar}{m\omega_2}}$$

Общее решение теперь такое :

$$\Psi_{nk}(x, y) = \hat{a}_x^+ \hat{a}_x^+ \cdots \hat{a}_x^+ \hat{a}_y^+ \hat{a}_y^+ \cdots \hat{a}_y^+ \Psi_{00}(x, y), \quad \Psi_{00}(x, y) = \frac{1}{\sqrt{\pi}} e^{-\frac{x^2}{2x_0^2} - \frac{y^2}{2y_0^2}}$$

Соответственно, находим значения собственных энергий :

$$\epsilon_{1,n} = 2n + 1, n = 0, \dots, \infty$$

$$\epsilon_{2,k} = 2k + 1, k = 0, \dots, \infty$$

$$E_{nk} = \hbar\omega_1 \left( n + \frac{1}{2} \right) + \hbar\omega_2 \left( k + \frac{1}{2} \right)$$

В частности :

$$\Psi_{10}(x, y) = \frac{\sqrt{2}}{\sqrt{\pi}} \frac{x}{x_0} e^{-\frac{x^2}{2x_0^2} - \frac{y^2}{2y_0^2}}, \quad \Psi_{01}(x, y) = \frac{\sqrt{2}}{\sqrt{\pi}} \frac{y}{y_0} e^{-\frac{x^2}{2x_0^2} - \frac{y^2}{2y_0^2}}$$

> Phi[0,0]:= (xi, eta) -> exp(- (xi^2+eta^2)/2)/Pi^(1/2);

$$\Phi_{0,0} := (\xi, \eta) \rightarrow \frac{e^{-\frac{1}{2}\xi^2 - \frac{1}{2}\eta^2}}{\sqrt{\pi}} \quad (6)$$

> Phi[1,0]:= (xi, eta) -> (subs(y=xi, diff(Phi[0,0](y, eta), y)) - xi\*Phi[0,0](xi, eta))/sqrt(2);  
Phi[0,1]:= (xi, eta) -> (subs(y=eta, diff(Phi[0,0](xi, y), y)) - eta\*Phi[0,0](xi, eta))/sqrt(2);

$$\Phi_{1,0} := (\xi, \eta) \rightarrow \frac{\text{subs}(y=\xi, \frac{\partial}{\partial y} \Phi_{0,0}(y, \eta)) - \xi \Phi_{0,0}(\xi, \eta)}{\sqrt{2}}$$

$$\Phi_{0,1} := (\xi, \eta) \rightarrow \frac{\text{subs}(y=\eta, \frac{\partial}{\partial y} \Phi_{0,0}(\xi, y)) - \eta \Phi_{0,0}(\xi, \eta)}{\sqrt{2}} \quad (7)$$

> Phi[2,0]:= (xi, eta) -> (subs(y=xi, diff(Phi[1,0](y, eta), y)) - xi\*Phi[1,0](xi, eta))/sqrt(2\*2);  
Phi[0,2]:= (xi, eta) -> (subs(y=eta, diff(Phi[0,1](xi, y), y)) - eta\*Phi[0,1](xi, eta))/sqrt(2\*2);  
Phi[1,1]:= (xi, eta) -> (subs(y=xi, diff(Phi[0,1](y, eta), y)) - xi\*Phi[0,1](xi, eta))/sqrt(2\*2);

$$\Phi_{2,0} := (\xi, \eta) \rightarrow \frac{\text{subs}(y=\xi, \frac{\partial}{\partial y} \Phi_{1,0}(y, \eta)) - \xi \Phi_{1,0}(\xi, \eta)}{\sqrt{4}}$$

$$\Phi_{0,2} := (\xi, \eta) \rightarrow \frac{\text{subs}(y=\eta, \frac{\partial}{\partial y} \Phi_{0,1}(\xi, y)) - \eta \Phi_{0,1}(\xi, \eta)}{\sqrt{4}}$$

$$\Phi_{1,1} := (\xi, \eta) \rightarrow \frac{\text{subs}(y=\xi, \frac{\partial}{\partial y} \Phi_{0,1}(y, \eta)) - \xi \Phi_{0,1}(\xi, \eta)}{\sqrt{4}} \quad (8)$$

> Phi[1,0](xi, eta);  
Phi[0,1](xi, eta);

$$\frac{\xi e^{-\frac{1}{2}\xi^2 - \frac{1}{2}\eta^2}}{\sqrt{\pi}} \sqrt{2} \quad (9)$$

$$\frac{\eta e^{-\frac{1}{2}\xi^2 - \frac{1}{2}\eta^2}}{\sqrt{\pi}} \sqrt{2}$$

> factor(Phi[2,0](xi, eta));  
factor(Phi[1,1](xi, eta));  
factor(Phi[0,2](xi, eta));

$$\frac{1}{2} \frac{e^{-\frac{1}{2}\xi^2 - \frac{1}{2}\eta^2}}{\sqrt{\pi}} \sqrt{2} (2\xi^2 - 1)$$

$$\frac{3}{4} \frac{\eta \xi e^{-\frac{1}{2}\xi^2 - \frac{1}{2}\eta^2}}{\sqrt{\pi}} \sqrt{2}$$

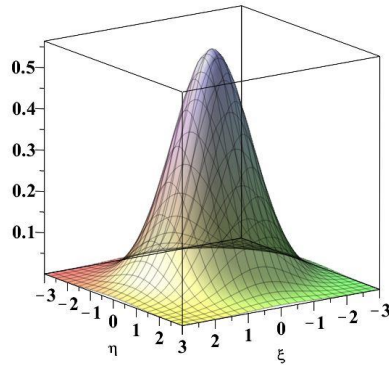
$$\frac{1}{2} \frac{e^{-\frac{1}{2}\xi^2 - \frac{1}{2}\eta^2}}{\sqrt{\pi}} \sqrt{2} (2\eta^2 - 1) \quad (10)$$

Строим графики нескольких первых собственных функций с фиксированной энергией

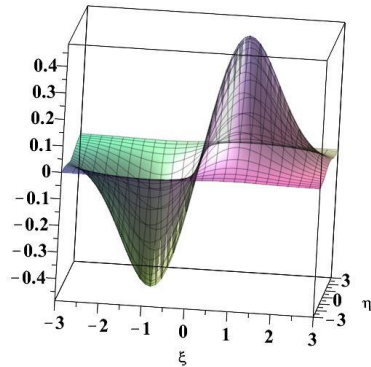
(11)

```
a := 4
> picN00:=plot3d(Phi[0,0](xi,eta),xi=-3..3,eta=-3..3,title="Двумерный гармонический осциллятор. Волновая функция Psi[0,0]",transparency=0.25,frm3d):
picN010:=plot3d(Phi[1,0](xi,eta),xi=-3..3,eta=-3..3,title="Двумерный гармонический осциллятор. Волновая функция Psi[1,0]",transparency=0.25,frm3d):
picN001:=plot3d(Phi[0,1](xi,eta),xi=-3..3,eta=-3..3,title="Двумерный гармонический осциллятор. Волновая функция Psi[0,1]",transparency=0.25,frm3d):
> display(picN000);
> display(picN010);
> display(picN001);
```

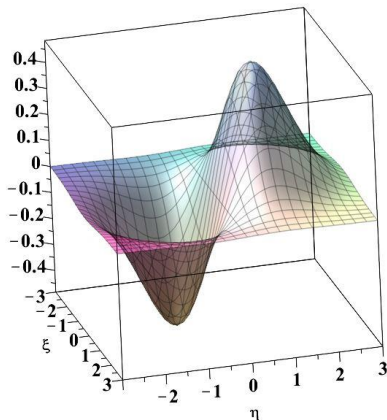
Двумерный гармонический осциллятор. Волновая функция Psi[0,0]



Двумерный гармонический осциллятор. Волновая функция Psi[1,0]



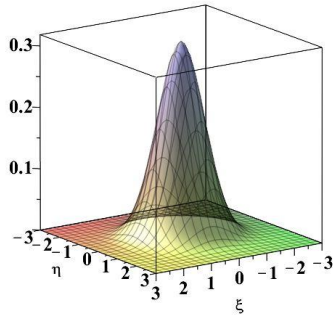
Двумерный гармонический осциллятор. Волновая функция Psi[0,1]



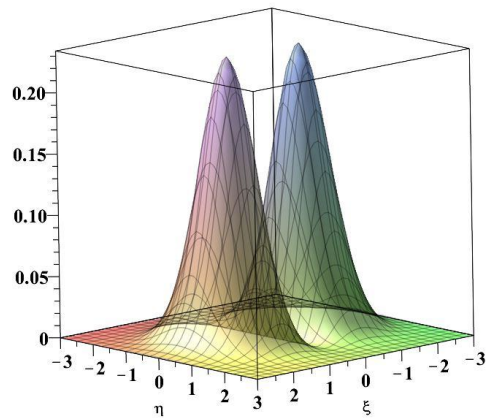
Строим графики плотности вероятностей найти двумерный гармонический осциллятор с фиксированной энергией.

```
> picNOP0:=plot3d(Phi[0,0](xi,eta)^2,xi=-3..3,eta=-3..3,title="Двумерный гармонический осциллятор. Волновая функция Psi[0,0]",transparency=0.25,frm3d):  
picNOP10:=plot3d(Phi[1,0](xi,eta)^2,xi=-3..3,eta=-3..3,title="Двумерный гармонический осциллятор. Волновая функция Psi[1,0]",transparency=0.25,frm3d):  
picNOP01:=plot3d(Phi[0,1](xi,eta)^2,xi=-3..3,eta=-3..3,title="Двумерный гармонический осциллятор. Волновая функция Psi[0,1]",transparency=0.25,frm3d):  
> display(picNOP0);  
display(picNOP10);  
display(picNOP01);;
```

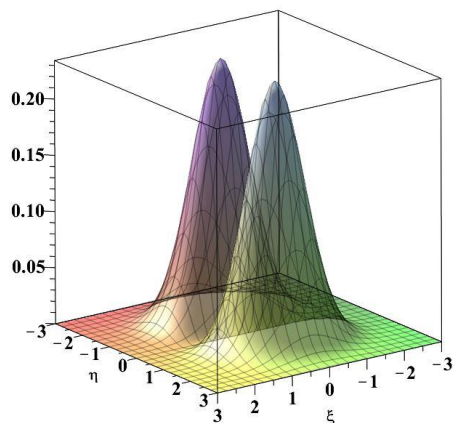
Двумерный гармонический осциллятор. Волновая функция Psi[0,0]



Двумерный гармонический осциллятор. Волновая функция Psi[1,0]



Двумерный гармонический осциллятор. Волновая функция Psi[0,1]



**Вычислите и постройте графики функций  $\Phi_{[2,0]}(xi.eta)$ ,  $\Phi_{[1,1]}(xi.eta)$ ,  $\Phi_{[0,2]}(xi.eta)$ !!!**

Энергетические уровни гармонического осциллятора не являются вырожденными в случае, если число

$$q = \frac{\omega_1}{\omega_2}$$

не является рациональным. Наоборот, если  $q$  - рациональное число, то уровни энергии вырождены. Это означает, что одной и той же энергии соответствует больше одной волновой функции.

**Число линейно независимых функций, соответствующих одной энергии, называется кратностью вырождения энергетического уровня.**

Вычислим кратность вырождения в частном случае  $\omega_1 = \omega_2$ .

В этом случае энергия уровней имеет такой вид:

$$E_{nk} = \hbar\omega_1(n+k+1) = \hbar\omega_1(N+1)$$

Можно установить, что условием вырождения является требование:

$$n+k=N$$

Это означает, что все уровни лежат на прямой в двумерной плоскости  $(n, k)$ .

Смысл можно понять из графика, приведенного ниже.

> E := (n, k, q) -> q \* (n+k+1);

$$E := (n, k, q) \rightarrow q(n+k+1) \quad (12)$$

> q := 1;

$$q := 1 \quad (13)$$

> PTE := (n, k) -> point([n, k], color=red, frm);

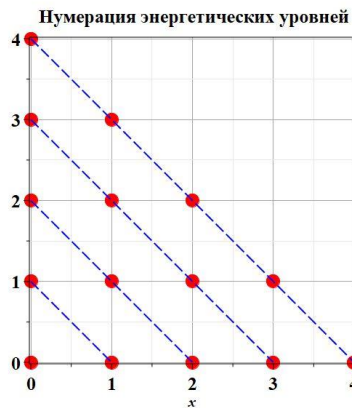
$$PTE := (n, k) \rightarrow \text{plottools::point}([n, k], \text{color} = \text{red}, \text{frm}) \quad (14)$$

> picPTE := display(PTE(0,0), PTE(1,0), PTE(0,1), PTE(2,0), PTE(1,1), PTE(0,2), PTE(3,0), PTE(2,1), PTE(1,2), PTE(0,3), PTE(4,0), PTE(3,1), PTE(2,2), PTE(1,3), PTE(0,4));  
#txtBGEN := textplot([[1,10.3, "n=4"], [1,6.1, "n=3"], [1,3.1, "n=2"], [1,1.1, "n=1"]], frm, color=[red,blue, "DarkGreen", magenta]);

> pLE := (k) -> plot(k-x, x=0..k, color=blue, thickness=2, linestyle=dash, title="Нумерация энергетических уровней", frm);  
pLE := k -> plot(k-x, x=0..k, color=blue, thickness=2, linestyle=dash, title="Нумерация энергетических уровней", frm) (15)

> picLE := display(pLE(1), pLE(2), pLE(3), pLE(4));

> display(picPTE, picLE);



Из графиков видно, что кратность вырождения уровня с номером  $N=n+k$  равна  $N+1$ . Это означает, что уровню с номером  $N$  соответствует  $N+1$  линейно независимых волновых функций:

$$N=0: \Psi_{00}$$

$$N=1: \Psi_{10}, \Psi_{01}$$

$$N=2: \Psi_{20}, \Psi_{11}, \Psi_{02}$$

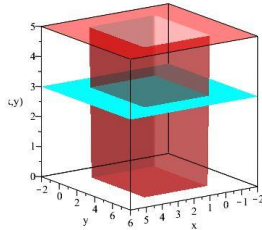
$$N=3: \Psi_{30}, \Psi_{21}, \Psi_{12}, \Psi_{03}$$

$$N=4: \Psi_{40}, \Psi_{31}, \Psi_{22}, \Psi_{13}, \Psi_{04}$$

## Задача Прямоугольная бесконечно глубокая яма

```
> plot3d([U4(x,y,4,6,0,5),3],x=-2..6,y=-2..8,color=[red,cyan],thickness=5,transparency=[0.5,0.0],title="Двумерная прямоугольная яма конечной глубины",labels=["x","y","U(x,y)"],style=surface,grid=[100,100]);# , view=[-10..10,0..5]
```

Двумерная прямоугольная яма конечной глубины



Уравнение Шредингера для двумерной прямоугольной ямы бесконечной глубины имеет такой вид:

$$-\frac{\hbar^2}{2m} \left( \frac{\partial^2}{\partial x^2} \Psi(x, y; E) + \frac{\partial^2}{\partial y^2} \Psi(x, y; E) \right) = E \Psi(x, y; E).$$

Полагаем, что внутри ямы потенциальная энергия равна нулю.

Граничные условия соответствуют бесконечно глубокой яме. Именно,

на границе ямы волновая функция должна обращаться в ноль :

$$\Psi(0, y; E) = 0; \quad \Psi(a, y; E) = 0, \quad \Psi(x, 0; E) = 0, \quad \Psi(x, b; E) = 0.$$

Это уравнение по форме совпадает с уравнением Лапласа и допускает разделение переменных.

Решение для волновой функции ищем в виде произведения :

$$\Psi(x, y; E) = \Psi(x) \Phi(y)$$

Уравнения для функций  $\Psi(x)$  и  $\Phi(y)$  будут иметь вид одномерных уравнений Шредингера :

$$-\frac{\hbar^2}{2m} \frac{\partial^2}{\partial x^2} \Psi(x) = E_1 \Psi(x),$$

$$-\frac{\hbar^2}{2m} \frac{\partial^2}{\partial y^2} \Phi(y) = E_2 \Phi(y),$$

с граничными условиями :

$$\Psi(0) = 0; \quad \Psi(a) = 0;$$

$$\Phi(0) = 0, \quad \Phi(b) = 0.$$

При этом :

$$E = E_1 + E_2$$

Каждое из уравнений представляет собой уравнение Шредингера для одномерной бесконечно глубокой ямы по каждой из координат, решение которых мы знаем. Именно :

$$\Psi(x) = \Psi_n(x) = \sqrt{\frac{2}{a}} \sin\left(\frac{\pi n}{a} x\right),$$

$$\Phi(y) = \Phi_k(y) = \sqrt{\frac{2}{b}} \sin\left(\frac{\pi k}{b} y\right).$$

С полной энергией уровней :

$$E_{nk} = \frac{\hbar^2}{2m} \left[ \left(\frac{\pi n}{a}\right)^2 + \left(\frac{\pi k}{b}\right)^2 \right]$$

В результате, общее решение имеет такой вид :

$$\Psi(x, y; E_{nk}) = \Psi_{nk}(x, y) = 2 \sqrt{\frac{1}{ab}} \sin\left(\frac{\pi n}{a} x\right) \sin\left(\frac{\pi k}{b} y\right).$$

### ЗАДАЧИ ДЛЯ САМОСТОЯТЕЛЬНОГО РЕШЕНИЯ

#### Задача 1

Найдите волновые функции для трехмерной бесконечно глубокой ямы

Постройте графики волновых функций и энергетических уровней для двумерной и трехмерной бесконечно глубокой ямы

>

#### Задача 2

Найдите волновые функции для трехмерного гармонического осциллятора. Вычислите кратность вырождения для различных уровней.

Постройте графики волновых функций и энергетических уровней